



Сети Колмогорова-Арнольда

VS

Персептрон:

Решение обратной задачи георазведки



Г.А. Куприянов^{1,2}, И.В. Исаев^{2,3}, С.А. Доленко²

¹Физический факультет Московского государственного университета имени М.В. Ломоносова, Москва, Россия

²НИИ ядерной физики им. Д.В. Скобельцына Московского государственного университета им. М.В. Ломоносова, Москва, Россия

³Институт радиотехники и электроники им. Котельникова Российской академии наук, Москва, Россия

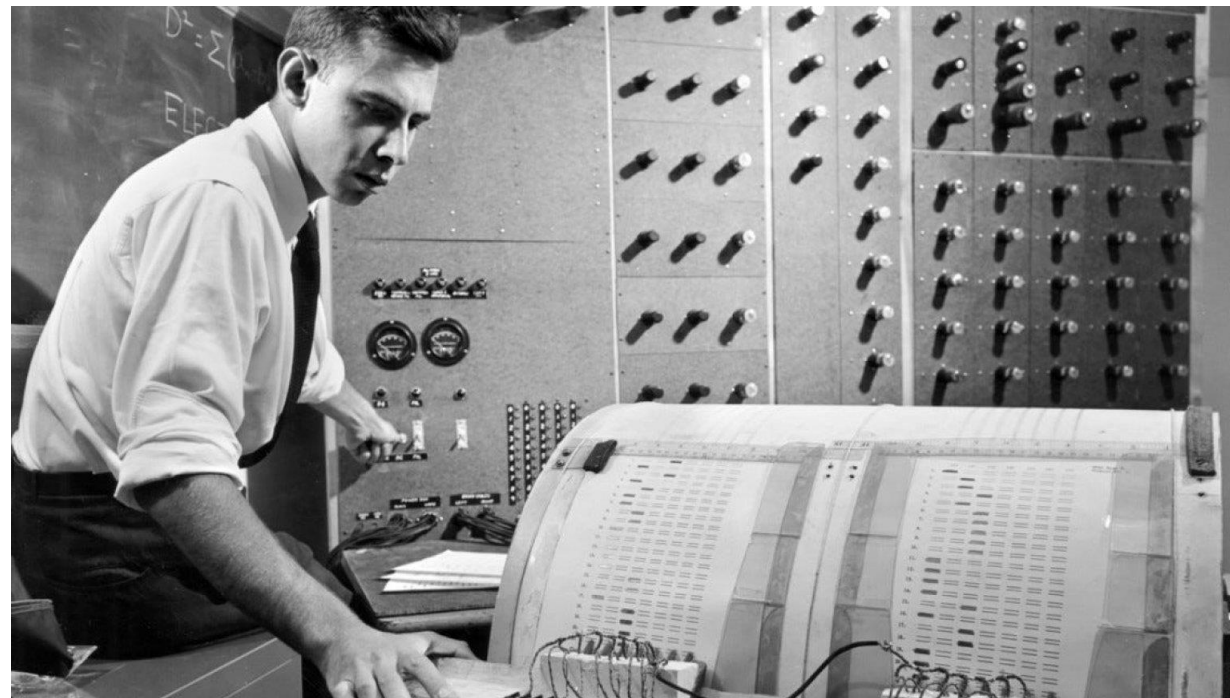
План доклада

1. Сети Колмогорова-Арнольда (КАН)
2. Предметная область: задача разведочной геофизики
3. Сравнение результатов применения персептрона и КАН

Первая искусственная нейронная сеть



Фрэнк Розенблат
(1928-1971)



Первый персептрон «Марк-1»
(1960)

Первая искусственная нейронная сеть



Фрэнк
Розенблат



«Марк-1»
(1960)

$$f(\mathbf{x}) \approx \sum_{i=1}^{N(\epsilon)} a_i \sigma(\mathbf{w}_i \cdot \mathbf{x} + b_i)$$

Универсальная теорема
аппроксимации персептроном
(Цыбенко, 1989)

13-я проблема Гильберта

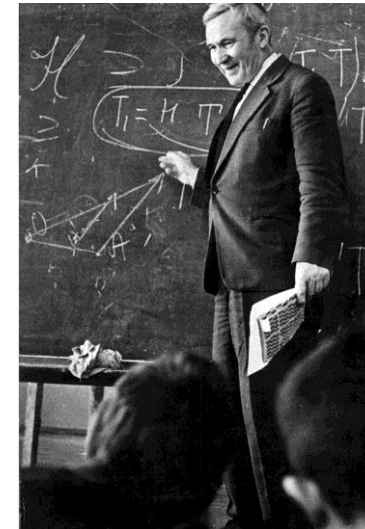
Можно ли представить функцию многих переменных в виде суперпозиции функций двух переменных?

13-я проблема Гильберта

Можно ли представить функцию многих переменных в виде суперпозиции функций двух переменных?

Можно, достаточно даже функций одной переменных:

$$f(\mathbf{x}) = \sum_{q=1}^{2n+1} \Phi_q \left(\sum_{p=1}^n \phi_{q,p}(x_p) \right)$$



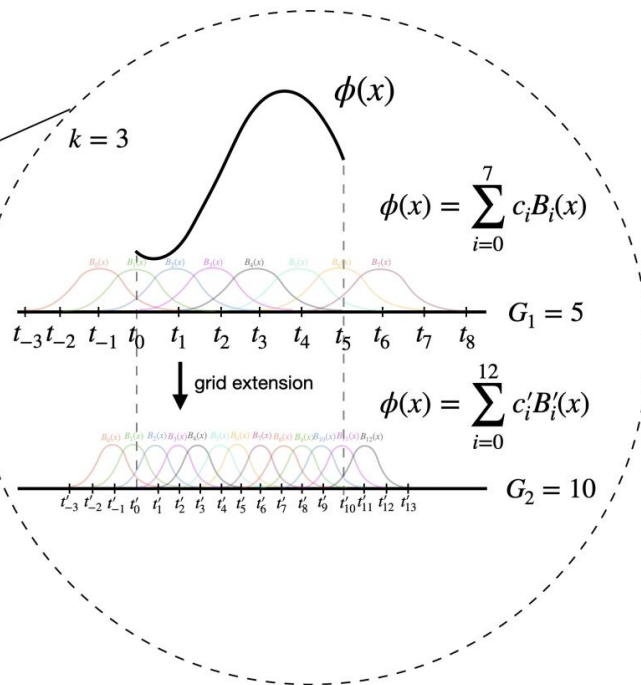
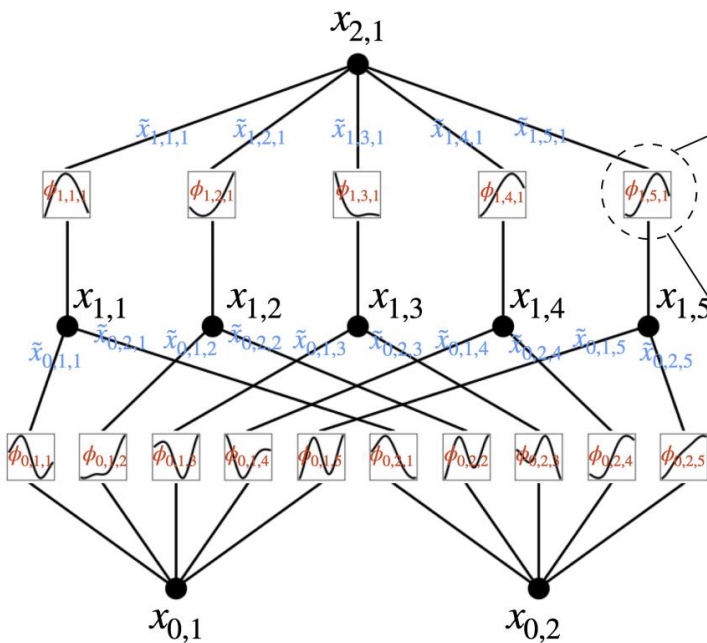
Теорема Колмогорова-Арнольда

Персептрон и КАН

Model	Multi-Layer Perceptron (MLP)	Kolmogorov-Arnold Network (KAN)
Theorem	Universal Approximation Theorem	Kolmogorov-Arnold Representation Theorem
Formula (Shallow)	$f(\mathbf{x}) \approx \sum_{i=1}^{N(e)} a_i \sigma(\mathbf{w}_i \cdot \mathbf{x} + b_i)$	$f(\mathbf{x}) = \sum_{q=1}^{2n+1} \Phi_q \left(\sum_{p=1}^n \phi_{q,p}(x_p) \right)$
Model (Shallow)	<p>(a)</p> <p><i>fixed activation functions on nodes</i></p> <p><i>learnable weights on edges</i></p>	<p>(b)</p> <p><i>learnable activation functions on edges</i></p> <p><i>sum operation on nodes</i></p>

Активационные функции в KAN

- Параметризуем функции активаций В-сплайнами
- Обучение = подбор коэффициентов при В-сплайнах



Преимущества В-сплайнов:

1. Параметризация вектором чисел
2. Локальность изменения
3. Возможность адаптивно изменять точность сплайна

Детали реализации

- На самом деле активация выглядит следующим образом (b(x) - аналог residuals connections)

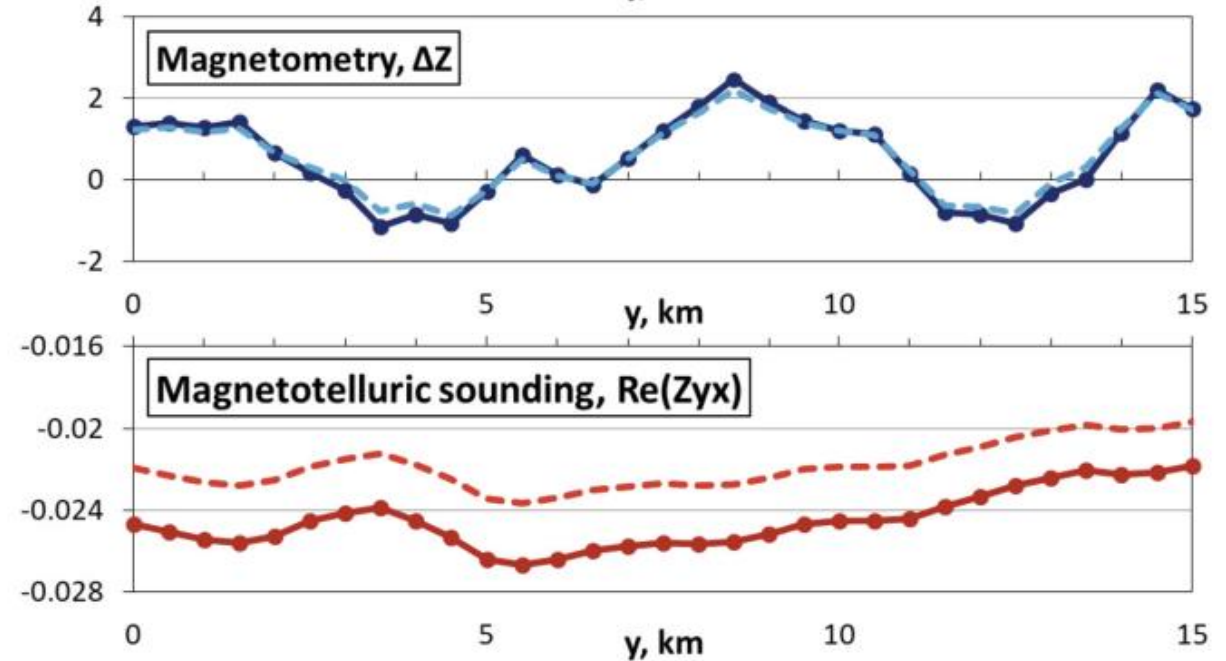
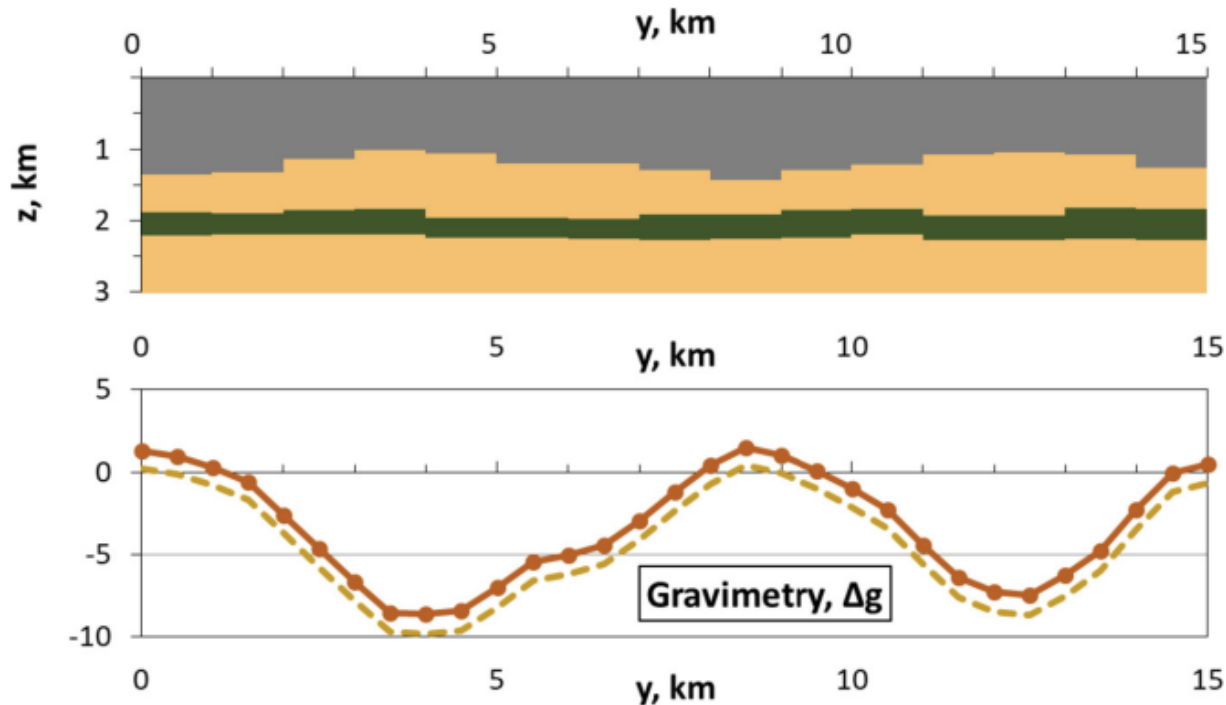
$$\phi(x) = w_b b(x) + w_s \text{spline}(x).$$

$$b(x) = \text{silu}(x) = x / (1 + e^{-x})$$

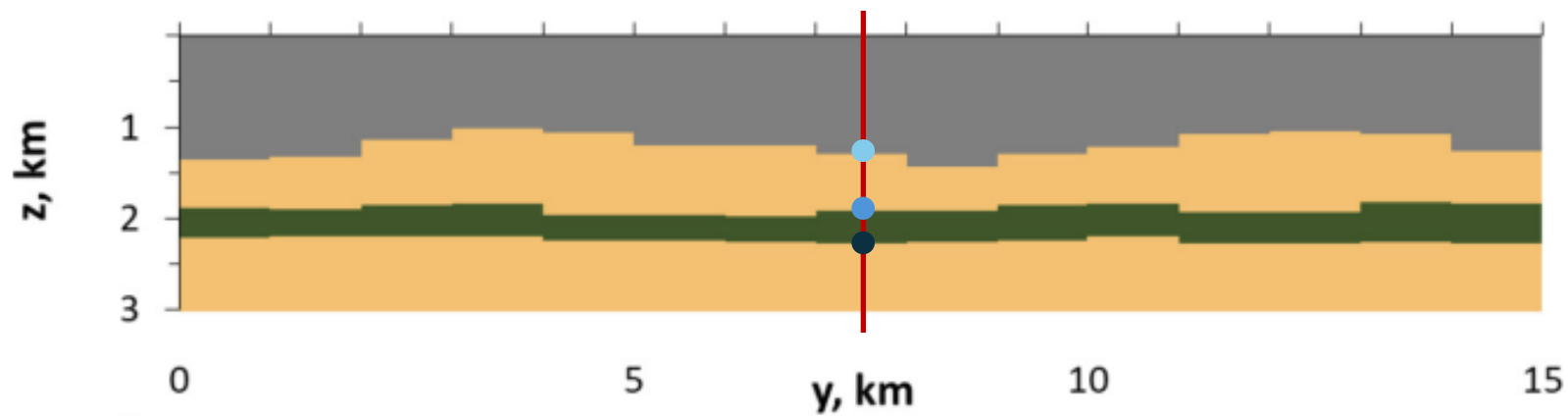
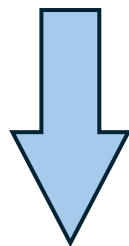
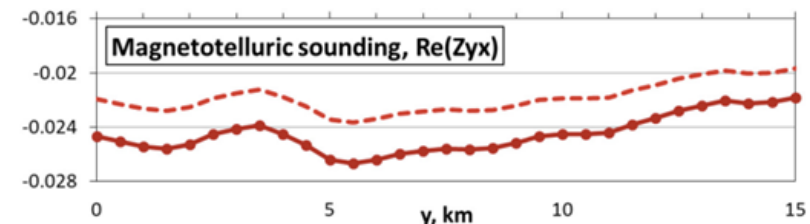
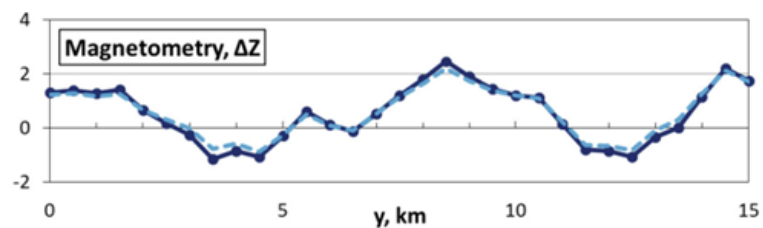
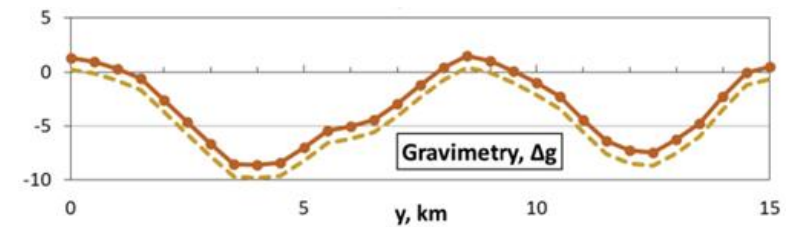
- Сетка, на которой строятся базисные сплайны, может адаптивно меняться в процессе обучения КАН
- Порядок В-сплайнов ~ 3

Обратная задача геофизики

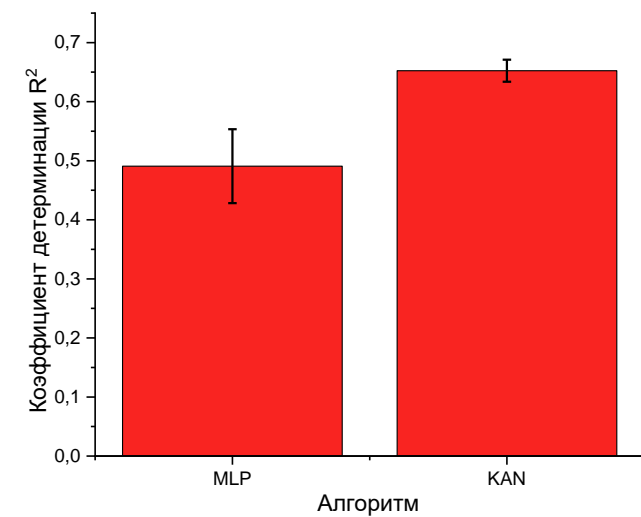
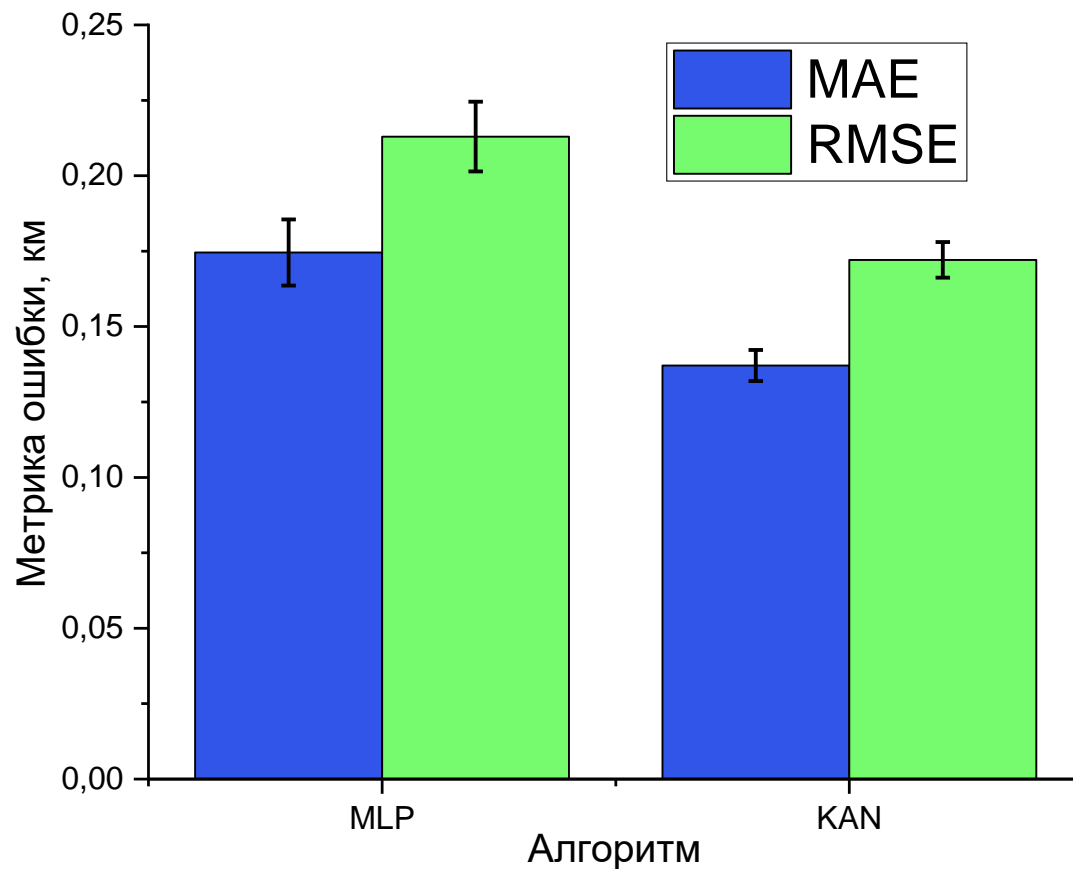
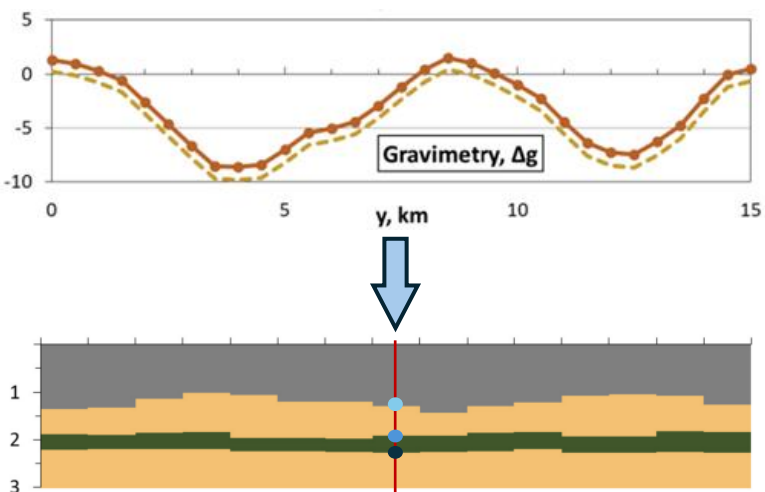
Задача: По данным неинвазивных исследований (Гравиметрия, Магнитометрия, Магнитотеллурика) восстановить профиль залегающих пород



Обратная задача геофизики

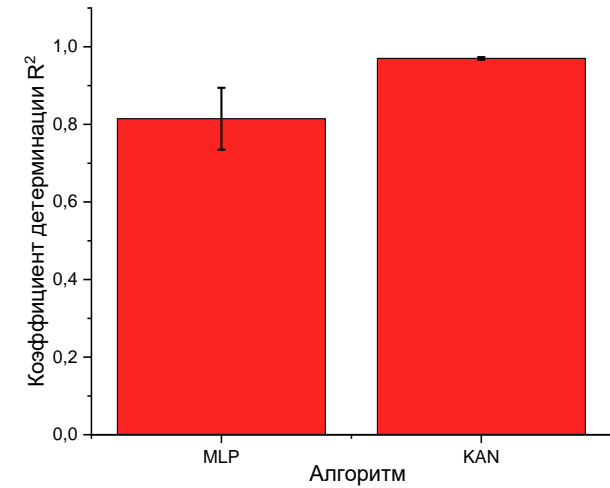
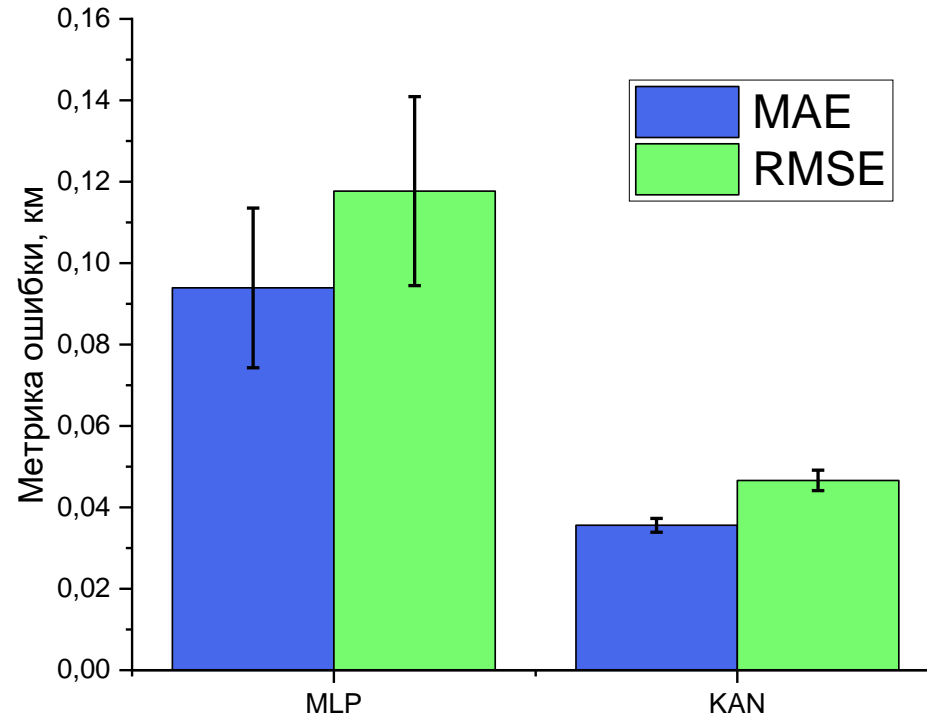
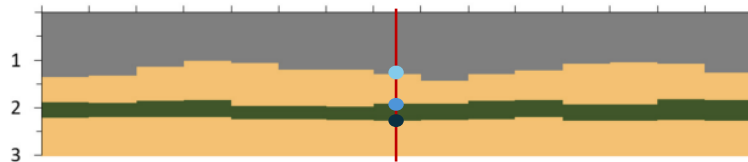
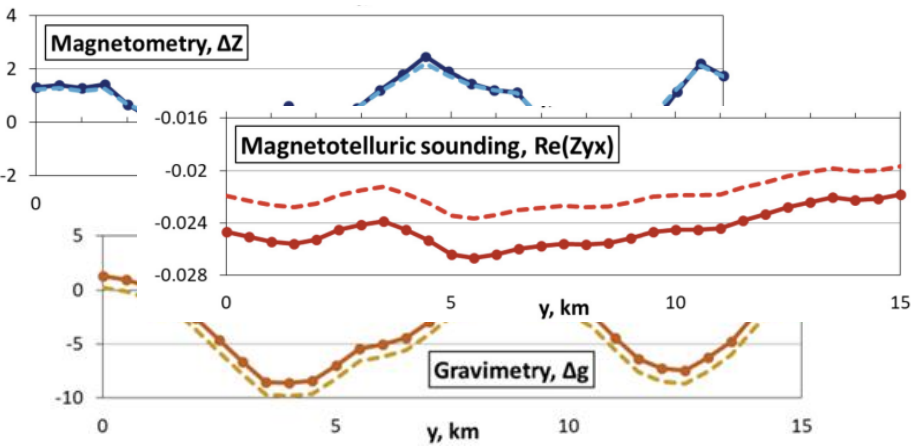


Сравнение персептрона и КАН



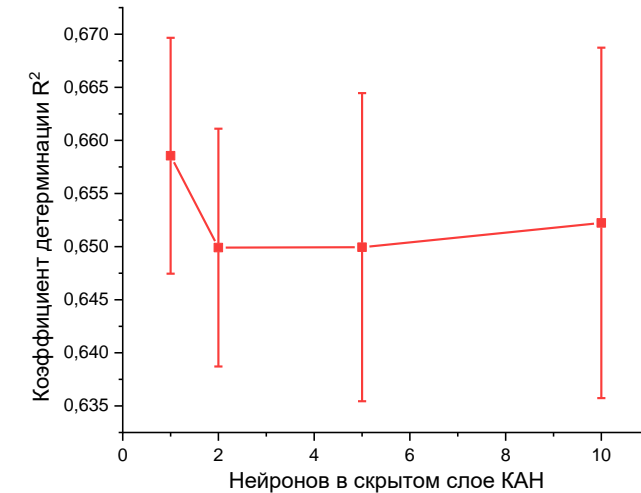
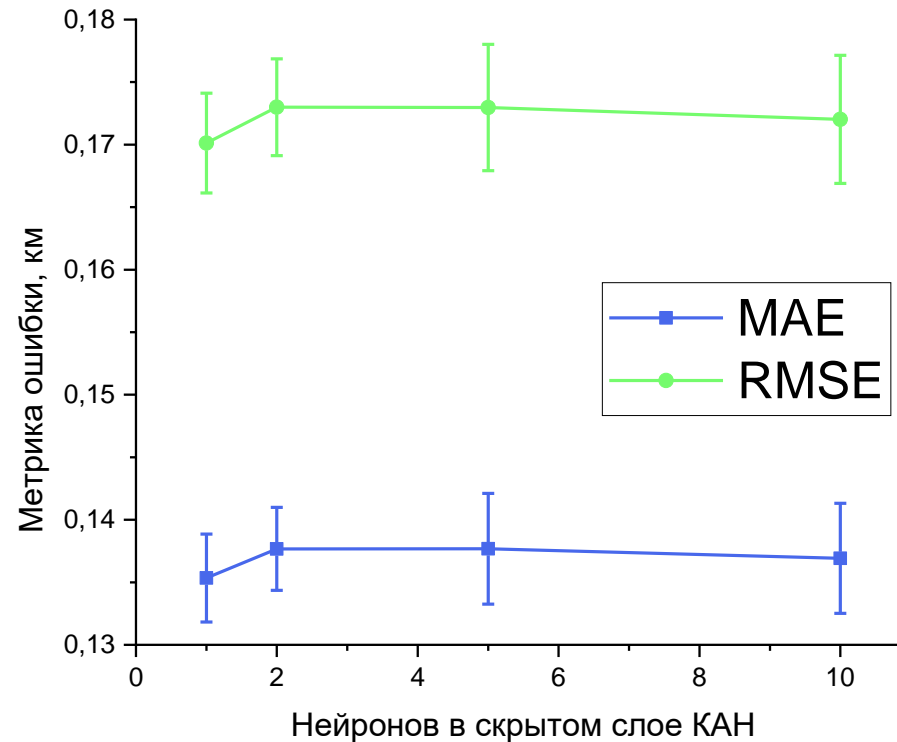
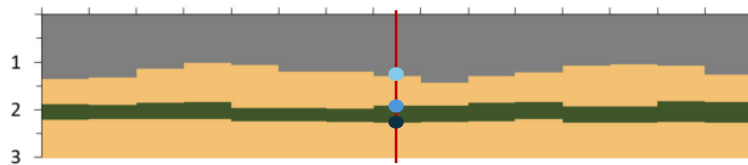
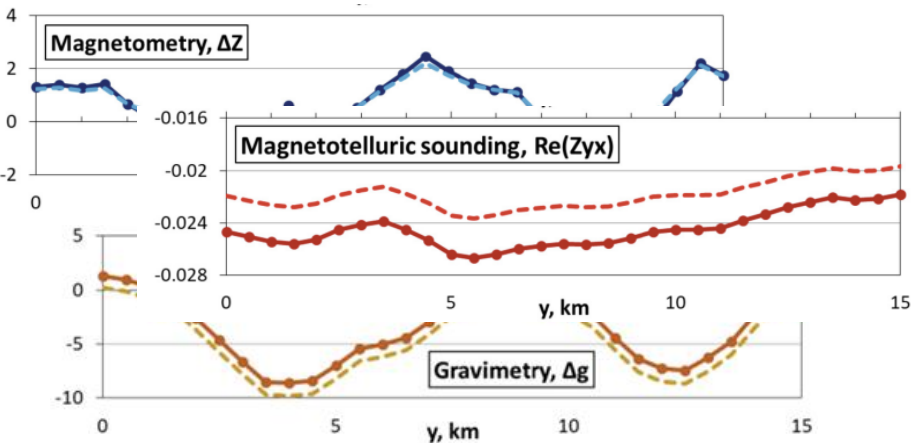
Сравнение перцептрона и КАН

Максимальный набор входных данных



Алгоритм

КАН с разным количеством нейронов в скрытом слое



Выводы

1. Сети Колмогорова-Арнольда (КАН) на обратной задаче георазведки превзошли персептрон как при ограниченном, так и при полном наборе входных данных.
2. Оптимальное количество нейронов в скрытом слое у КАН – 1 нейрон.

Спасибо за внимание!

Детали реализации КАН:

1. Используемая библиотека: ruKan
2. Порядок сплайнов: $K=3$
3. Размер сетки сплайнов: $\text{grid}=3$
4. Функция потерь: MSE
5. Оптимизатор: LBFGS
6. Остановка обучения: по callback на валидационном наборе ($\text{tol}=0.001$, $\text{iter_no_change}=25$)

